

# 水热-煅烧法制备 BiNbO<sub>4</sub>及其光催化性能研究

赵洁, 吴飞, 张晓龙, 宋强, 冯亚伟

(西安理工大学 理学院, 陕西 西安 710054)

**摘要:**本文提出一种水热-煅烧法合成 BiNbO<sub>4</sub>的新方法。以 Bi(NO<sub>3</sub>)<sub>3</sub>·5H<sub>2</sub>O 和 NbCl<sub>5</sub>为原料, 用水热法 (pH=9, 220 °C, 24 h) 制得前驱体 Bi<sub>5</sub>Nb<sub>3</sub>O<sub>15</sub>, 再将其于 800 °C 煅烧 3 h 制得 α-BiNbO<sub>4</sub>, 于 1 040 °C 煅烧 3 h 制得 β-BiNbO<sub>4</sub>。通过 XRD, UV-vis DRS, TG-DTA, SEM 和 BET 等技术对样品进行表征和分析, 探讨了水热温度和煅烧温度对 BiNbO<sub>4</sub>催化剂晶型结构的影响。以沙拉沙星为降解模型比较了 α-BiNbO<sub>4</sub> 和 β-BiNbO<sub>4</sub> 的光催化性能, 发现 α-BiNbO<sub>4</sub> 的光催化性能优于 β-BiNbO<sub>4</sub> 的光催化性能。研究了 α-BiNbO<sub>4</sub> 光催化降解沙拉沙星的条件及性能。结果表明, 在 250 W 氙灯 180 min 的照射下, 催化剂用量为 2.0 g/L, 沙拉沙星浓度为 10 mg/L, 溶液 pH 值为 3.0 时, 沙拉沙星的降解率可达 97.37%。α-BiNbO<sub>4</sub> 在各条件下降解沙拉沙星过程均符合一级动力学模型。

**关键词:**光催化; BiNbO<sub>4</sub>; 水热-煅烧法; 降解; 沙拉沙星

中图分类号: O643

文献标志码: A

文章编号: 1006-4710(2020)01-0010-07

## Preparation of BiNbO<sub>4</sub> by hydrothermal-calcination method and its photocatalytic performance

ZHAO Jie, WU Fei, ZHANG Xiaolong, SONG Qiang, FENG Yawei

(School of Science, Xi'an University of Technology, Xi'an 710054, China)

**Abstract:** Using Bi(NO<sub>3</sub>)<sub>3</sub>·5H<sub>2</sub>O and NbCl<sub>5</sub> as raw materials, α-BiNbO<sub>4</sub> and β-BiNbO<sub>4</sub> are synthesized by the hydrothermal-calcination method. The samples are characterized and analyzed by XRD, UV-vis DRS, TG-DTA, SEM and BET techniques. The effect of hydrothermal temperature and calcination temperature of BiNbO<sub>4</sub> on crystal structure is discussed; antibiotic saraflloxacin is selected as the degradation target; photocatalytic performances of α-BiNbO<sub>4</sub> and β-BiNbO<sub>4</sub> are compared; the effects of α-BiNbO<sub>4</sub> dosage, saraflloxacin concentration and pH value on the photocatalytic performances are studied. The results show that the degradation rate of saraflloxacin reaches 97.37% under 250 W Xenon irradiation within 180 minutes, while the amount of catalyst is 2.0 g/L, the concentration of saraflloxacin 10 mg/L, and solution pH value 3.0. The degradation process is fitted to the first kinetic model under different conditions.

**Key words:** photocatalysis; BiNbO<sub>4</sub>; hydrothermal-calcination; degradation; saraflloxacin

近年来,抗生素已被广泛应用于医疗、农业以及公共卫生等领域,但在长期使用抗生素过程中,抗生素会对生态环境造成严重污染。沙拉沙星作为新的喹诺酮类动物专用抗生素,主要用于治疗和防治细菌感染性疾病。在实际使用过程中,由于沙拉沙星具有良好的稳定性,难以被传统方法降解而污染水体<sup>[1]</sup>。目前,对喹诺酮类抗生素处理的工艺主要包括吸附、微滤以及光催化技术<sup>[2]</sup>。基于半导体材料

的光催化技术已被证实是一种有效解决环境污染问题的方法,该技术的核心是选择合适的半导体材料从而使环境中的有机污染物氧化分解,最终降解为小分子物质、CO<sub>2</sub> 和水<sup>[3]</sup>。含有(Bi<sup>3+</sup>, In<sup>3+</sup>, Nb<sup>5+</sup>, Ga<sup>3+</sup>)的阳离子氧化物是最有前途的候选物,特别是含 Bi 和 Nb 的化合物,如 BiNbO<sub>4</sub>、Bi<sub>3</sub>NbO<sub>7</sub> 和 Bi<sub>5</sub>Nb<sub>3</sub>O<sub>15</sub> 等<sup>[4-5]</sup>。其中,BiNbO<sub>4</sub>是一种新型的宽带隙半导体材料,具有良好的微波介电性能和光催化

收稿日期: 2019-08-28; 网络出版日期: 2020-04-24

网络出版地址: <http://kns.cnki.net/kcms/detail/61.1294.N.20200423.1855.008.html>

基金项目: 国家自然科学基金资助项目(21706207)

第一作者: 赵洁,女,博士,副教授,研究方向为环境催化材料。E-mail:zhaojie\_1999@xaut.edu.cn

性能<sup>[6]</sup>。

铌酸铋(BiNbO<sub>4</sub>)的合成方法主要有传统固相法<sup>[7]</sup>,共沉淀法<sup>[8]</sup>和溶胶凝胶法<sup>[9]</sup>。传统的固相法具有产量大、制备工艺简单等优点,但所需温度较高,且高温下合成的产物颗粒大,影响其催化性能,使该方法的应用受到限制。Radha<sup>[8]</sup>曾以五氧化二铌、硝酸铋和氧化铋为起始原料,采用共沉淀法成功合成了BiNbO<sub>4</sub>材料,低温下反应不够完全,XRD图显示几种氧化物共同存在。尽管共沉淀法具有条件可控、方法简单、成本低且分散均匀等优点,但制备出的样品纯度低,直接影响了催化效率。Devesa等<sup>[9]</sup>用硝酸铋和五氯化铌为原料,用溶胶凝胶法制备了BiNbO<sub>4</sub>材料。虽然该方法可以实现分子水平上的均匀混合,但其烧结度差,不利于晶体生长的控制。研究表明,水热合成法可以使产物纯度高,分散性好、粒度易控制。迄今为止,鲜有关于BiNbO<sub>4</sub>水热法合成的报道。根据文献报道<sup>[10]</sup>, $\alpha$ -BiNbO<sub>4</sub>的成相温度在900℃以上,而 $\beta$ -BiNbO<sub>4</sub>的成相温度在1040℃以上,故可以用水热法合成BiNbO<sub>4</sub>前驱体Bi<sub>5</sub>Nb<sub>3</sub>O<sub>15</sub>,煅烧法使其转化为期望的晶相。基于此,本文开发出一种水热-煅烧新方法制备BiNbO<sub>4</sub>光催化材料。

本文以Bi(NO<sub>3</sub>)<sub>3</sub>·5H<sub>2</sub>O和NbCl<sub>5</sub>为起始原料,研究了BiNbO<sub>4</sub>的水热-煅烧法合成条件,探讨了水热温度和煅烧温度对BiNbO<sub>4</sub>催化剂晶型结构的影响,以喹诺酮类抗生素沙拉沙星为降解模型,对比了 $\alpha$ -BiNbO<sub>4</sub>和 $\beta$ -BiNbO<sub>4</sub>的光催化性能,讨论了催化剂的用量、药物的浓度和pH值对 $\alpha$ -BiNbO<sub>4</sub>光催化性能的影响。

## 1 实验

### 1.1 试 剂

Bi(NO<sub>3</sub>)<sub>3</sub>·5H<sub>2</sub>O(分析纯,中国国药集团化学试剂有限公司),NbCl<sub>5</sub>(分析纯,Alfa Aesar公司),氨水(分析纯,天津市天力化学试剂有限公司),无水乙醇(分析纯,天津市天力化学试剂有限公司),盐酸沙拉沙星标准品(纯度97.2%,Sigma Aldrich公司),实验用水均为去离子水。

### 1.2 BiNbO<sub>4</sub>的制备

将2 mmol Bi(NO<sub>3</sub>)<sub>3</sub>·5H<sub>2</sub>O和2 mmol NbCl<sub>5</sub>分别溶于20 mL无水乙醇中,然后将两溶液混合,用NH<sub>3</sub>·H<sub>2</sub>O调节pH至9。将混合溶液抽滤,得到白色沉淀,将白色沉淀分散于去离子水中,并用NH<sub>3</sub>·H<sub>2</sub>O调节pH至9,即得反应前驱体溶液。将反应前驱体溶液,置于水热反应釜中,在不同水热

温度下反应24 h,即得BiNbO<sub>4</sub>中间相Bi<sub>5</sub>Nb<sub>3</sub>O<sub>15</sub>。最后将BiNbO<sub>4</sub>中间相置于马弗炉中,以10℃/min的升温速率,不同温度下煅烧3 h,待冷却至室温后,即得BiNbO<sub>4</sub>样品。

### 1.3 BiNbO<sub>4</sub>的表征

采用XRD-7000s型X射线衍射仪(日本岛津)对样品进行晶型结构分析,管电压40 kV,管电流30 mA,Cu K $\alpha$ 靶,扫描范围2 $\theta$ 为10°~60°,扫描速度为10°/min;采用TESCAN VEGA 3SBH型扫描电镜对样品进行了形貌分析;以BaSO<sub>4</sub>为参比,采用UV-3600型紫外可见分光光度计(日本岛津)测定了样品的紫外-可见漫反射光谱(UV-vis DRS),采用DTG-60AH型差热-热重分析仪(日本岛津),在空气中以10℃/min的升温速率对样品进行分析;采用UV-2102型紫外分光光度计(上海尤尼柯仪器有限公司)测定沙拉沙星溶液的吸光度。

### 1.4 BiNbO<sub>4</sub>的光催化性能研究

光催化反应器由光源(250 W氙灯)、恒温循环器和气泵等组成。光催化实验时,向试管中加入50 mL一定浓度的沙拉沙星溶液和一定量的光催化剂,将通气管插入试管底部,通气暗吸附30 min后,启动光源,每隔30 min取一次样,高速离心后取上层清液,用紫外-可见分光光度计在277 nm处测定溶液的吸光度。根据吸光度和浓度的关系,计算降解率,评价其催化性能

$$D = \frac{c_0 - c_t}{c_0} \times 100\% \quad (1)$$

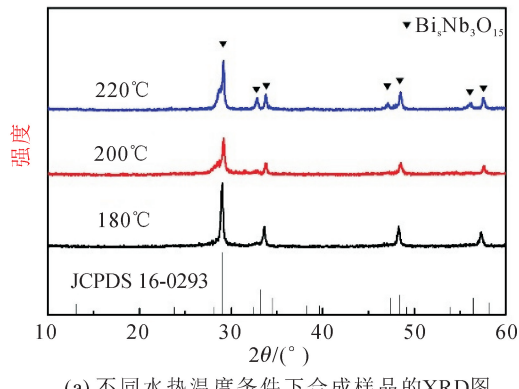
式中:D为降解率,c<sub>0</sub>为沙拉沙星溶液的初始浓度,c<sub>t</sub>为降解t时刻沙拉沙星溶液的浓度。

## 2 结果与讨论

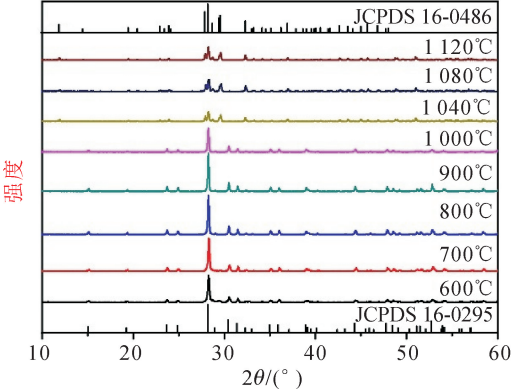
### 2.1 XRD分析

图1(a)是在不同水热温度条件下合成前驱体样品的XRD谱图。在合成BiNbO<sub>4</sub>的过程中,Bi<sub>5</sub>Nb<sub>3</sub>O<sub>15</sub>作为反应的中间相存在,对BiNbO<sub>4</sub>的制备有着非常重要的影响。由图1(a)中可以看出,当水热温度为200℃时,前驱体样品的XRD谱图与Bi<sub>5</sub>Nb<sub>3</sub>O<sub>15</sub>标准卡片JCPDS 16-0293的特征峰基本吻合,但是只有少量特征衍射峰,峰形较宽且强度不高,说明此时前驱体的晶型发育不是很完整,结晶度不高,低温不利于Bi<sub>5</sub>Nb<sub>3</sub>O<sub>15</sub>的晶化。随着水热反应温度的升高,可以看到特征峰逐渐增多,峰形更加尖锐,强度更高。当水热温度升至220℃时,前驱体的XRD谱图与标准卡片JCPDS 16-0293完全吻合,衍射峰强度最高且无杂峰,说明样品晶型发育完

整,结晶度高。因此该水热反应温度条件选择为220 °C。



(a) 不同水热温度条件下合成样品的XRD图



(b) 不同煅烧温度条件下合成样品的XRD图

Fig. 1 XRD patterns of synthesized samples

图1(b)是在220 °C, 24 h条件下水热合成的前驱体在不同温度下煅烧得到BiNbO<sub>4</sub>的XRD谱图。

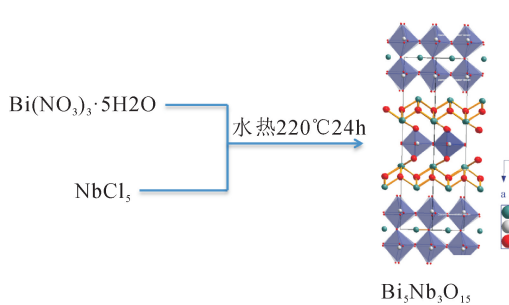


图1 合成样品的XRD图  
Fig. 1 XRD patterns of synthesized samples

## 2.2 UV-vis DRS分析

图3为α-BiNbO<sub>4</sub>和β-BiNbO<sub>4</sub>样品的UV-vis DRS图。由图3可知,样品均在200~400 nm之间具有较强的吸收,同时在400~500 nm之间也有明显吸收,吸收边分别在346 nm和397 nm,与文献报道一致<sup>[13]</sup>。根据半导体带隙与紫外-可见光吸收系数的关系:

从图中可以发现,当温度低于800 °C时,BiNbO<sub>4</sub>特征峰随着煅烧温度的升高而增强。而当煅烧温度为800 °C时,样品衍射峰与标准卡片JCPDS 16-0295的特征峰完全一致,证明样品为正交相α-BiNbO<sub>4</sub>。煅烧温度从1 000 °C上升至1 040 °C,正交相α-BiNbO<sub>4</sub>迅速发生相变,逐渐转化为三斜相β-BiNbO<sub>4</sub>。当煅烧温度大于1 040 °C时,样品衍射峰与标准卡片JCPDS 16-0486的特征峰吻合,证明样品为三斜相β-BiNbO<sub>4</sub>。XRD测试结果说明,水热反应后的前驱体在不同高温条件下煅烧,发生相变,得到了不同晶型的BiNbO<sub>4</sub>样品。

图2为BiNbO<sub>4</sub>合成示意图。由图2可见,以硝酸铋和五氯化铌为起始原料,经过水热反应,首先合成了具有正交相晶体结构的Bi<sub>5</sub>Nb<sub>3</sub>O<sub>15</sub>,经过进一步高温煅烧,依次转变为以铌为中心原子和氧形成八面体构型,在α-BiNbO<sub>4</sub>中形成了单层铌氧八面体与单层铋原子相互叠加的结构,而在β-BiNbO<sub>4</sub>中,铌氧八面体由单层变为双层。由文献报道可知<sup>[11]</sup>,BiNbO<sub>4</sub>晶体结构中八面体的Nb-O键几乎不受压力的影响,而Bi-O键容易受到相变的影响。因此,在实验过程中,中间相Bi<sub>5</sub>Nb<sub>3</sub>O<sub>15</sub>在800 °C条件下煅烧,由于高温高压Bi-O键被压缩而Nb-O八面体几乎不受影响生成α-BiNbO<sub>4</sub>,当煅烧温度升至1 040 °C时压力继续升高,Bi-O键再次被压缩,导致单层正交相α-BiNbO<sub>4</sub>会转化为双层的三斜相β-BiNbO<sub>4</sub>结构。据文献报道<sup>[12]</sup>,三斜相β-BiNbO<sub>4</sub>的晶体结构不能转化为正交相α-BiNbO<sub>4</sub>晶体结构。

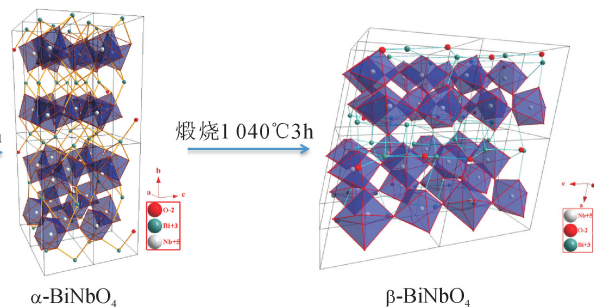


图2 BiNbO<sub>4</sub>合成过程的示意图  
Fig. 2 Schematic diagram of synthesizing bismuth niobate

$$\alpha h\nu = K (h\nu - E_g)^{1/2} \quad (2)$$

式中: $h\nu$ 为光子的能量, $\alpha$ 为吸收系数, $K$ 为材料的特征常数, $E_g$ 为禁带宽度。根据式(2)作出α-BiNbO<sub>4</sub>及β-BiNbO<sub>4</sub>样品的( $\alpha h\nu$ )<sup>2</sup>- $h\nu$ 曲线,根据曲线的切线与横轴的交点,即可得到禁带宽度。从图3可得,α-BiNbO<sub>4</sub>样品的禁带宽度为3.71 eV,β-BiNbO<sub>4</sub>样品的禁带宽度为3.21 eV。

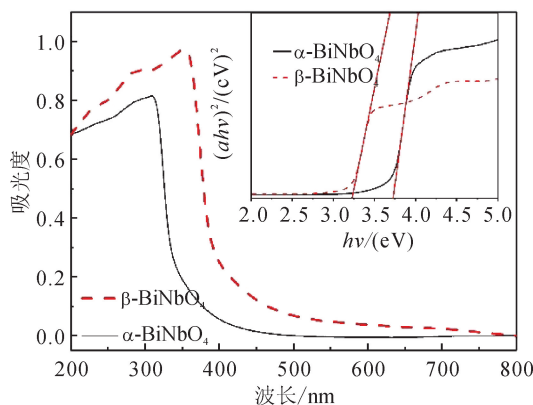


图 3  $\alpha$ -BiNbO<sub>4</sub> 和  $\beta$ -BiNbO<sub>4</sub> 样品的 UV-vis DRS 图及  $(ah\nu)^2 - h\nu$  曲线(内插图)  
Fig. 3 UV-vis DRS spectra of  $\alpha$ -BiNbO<sub>4</sub>,  $\beta$ -BiNbO<sub>4</sub> samples and  $(ah\nu)^2 - h\nu$  plot (insert)

### 2.3 TG-DTA 分析

图 4 是 BiNbO<sub>4</sub> 前驱体在空气氛围下, 升温速率为 10 °C/min 时测得的 TG-DTA 曲线。由图 4 可知, TG 曲线在温度小于 440 °C 温度范围内, 有一明显的质量损失过程, 这可能是由于前驱体中吸附水的损失所形成的。从 DTA 曲线可以发现, 在 1 032 °C、1 117 °C 和 1 220 °C 有 3 个吸热峰, 根据文献报道<sup>[14]</sup>, 三斜相  $\beta$ -BiNbO<sub>4</sub> 的成相温度为 1 040 °C, 结合 XRD 分析可知, 1 032 °C 处的吸热峰为正交相  $\alpha$ -BiNbO<sub>4</sub> 向三斜相  $\beta$ -BiNbO<sub>4</sub> 的转化过程。而 1 220 °C 处的强烈吸热峰可能是由于  $\beta$ -BiNbO<sub>4</sub> 的分解熔化过程。

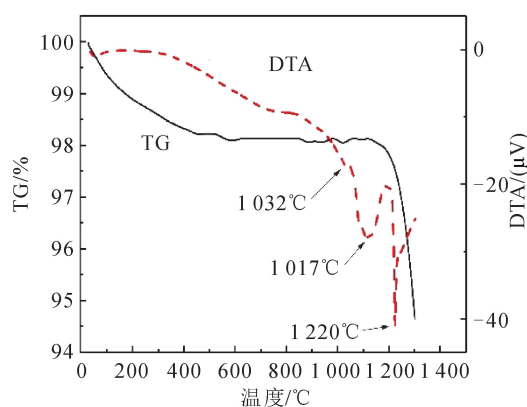
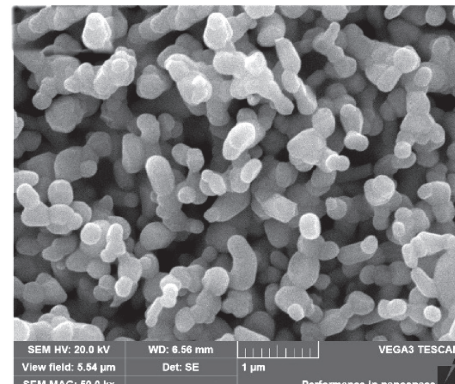


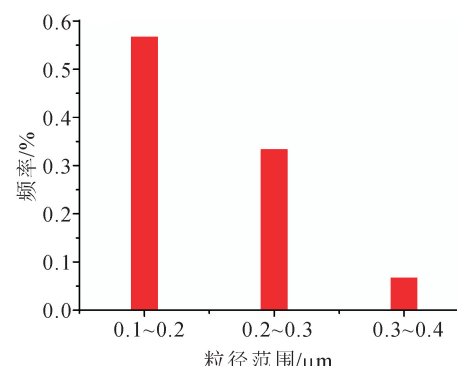
图 4 BiNbO<sub>4</sub> 前驱体的 TG-DTA 曲线  
Fig. 4 TG-DTA curves for precursors of BiNbO<sub>4</sub>

### 2.4 SEM 分析

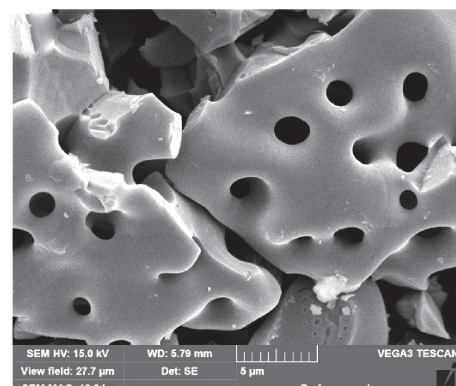
图 5 为本实验所制备的  $\alpha$ -BiNbO<sub>4</sub> 和  $\beta$ -BiNbO<sub>4</sub> 样品 SEM 图及根据 Nano Measurer 1.2 软件测得的颗粒尺寸分布柱状图。见图 5(a),  $\alpha$ -BiNbO<sub>4</sub> 样品为不均匀纳米球状颗粒, 颗粒表面较为光滑, 并存在一定的团聚现象。图 5(b) 为  $\alpha$ -BiNbO<sub>4</sub> 颗粒尺寸分布图。由图 5(b) 可知,  $\alpha$ -BiNbO<sub>4</sub> 颗粒尺寸在 0.1 至 0.4 μm 之间, 计算所得平均粒径为 0.2 μm。



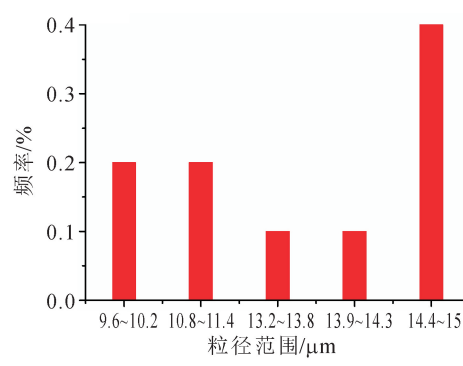
(a)  $\alpha$ -BiNbO<sub>4</sub> 样品的 SEM 图



(b)  $\alpha$ -BiNbO<sub>4</sub> 样品的粒径分布图



(c)  $\beta$ -BiNbO<sub>4</sub> 样品的 SEM 图



(d)  $\beta$ -BiNbO<sub>4</sub> 样品的粒径分布图

图 5 合成样品的 SEM 图和粒径分布图  
Fig. 5 SEM images of synthesized sample and corresponding size distributions

图 5(c) 为  $\beta$ -BiNbO<sub>4</sub> 样品的 SEM 图。由图 5

(c) 可见,在1040 °C条件下制备得到的 $\beta$ -BiNbO<sub>4</sub>样品呈现不规则块状,具有蜂窝状多孔结构。这可能是因为高温煅烧需要经历晶粒形成和晶粒生长两个过程,在温度升高的过程中晶粒尺寸逐渐变大。由图5(d)可知, $\beta$ -BiNbO<sub>4</sub>样品的晶粒尺寸在9.6至15  $\mu\text{m}$ 之间,平均尺寸为12.8  $\mu\text{m}$ ,平均厚度为3.0  $\mu\text{m}$ 。

## 2.5 BET分析

比表面积值是光催化材料一个非常重要的物理参数,光催化材料比表面积的大小会影响催化剂的催化活性。图6(a)为 $\alpha$ -BiNbO<sub>4</sub>和 $\beta$ -BiNbO<sub>4</sub>样品的N<sub>2</sub>吸附-脱附等温曲线,由实验结果可知, $\alpha$ -BiNbO<sub>4</sub>样品的比表面积为30.92  $\text{m}^2/\text{g}$ , $\beta$ -BiNbO<sub>4</sub>样品的比表面积为2.71  $\text{m}^2/\text{g}$ , $\alpha$ -BiNbO<sub>4</sub>样品的比表面积远大于 $\beta$ -BiNbO<sub>4</sub>样品。

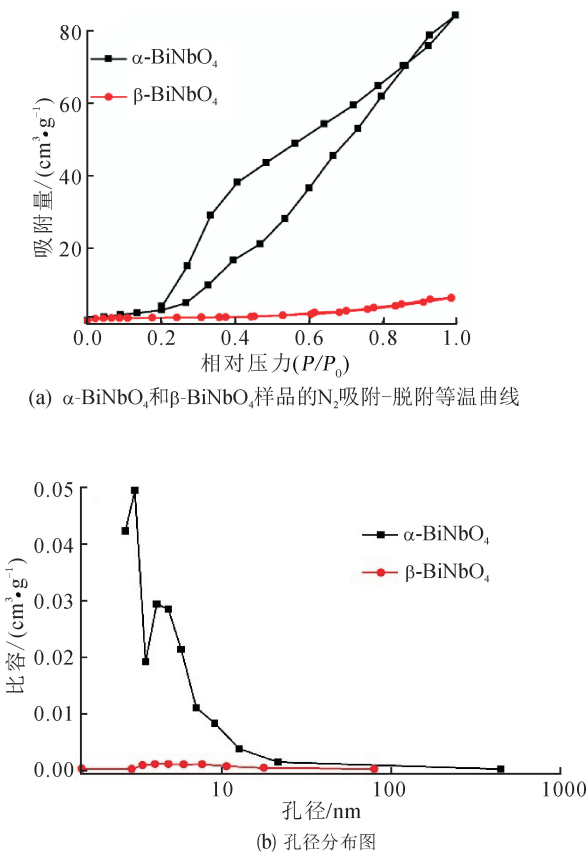


图6 合成样品的N<sub>2</sub>吸附-脱附曲线和孔径分布图  
Fig. 6 N<sub>2</sub> adsorption-desorption isotherm curves of synthesized samples and corresponding pore size distribution curves

由文献报道可知<sup>[15]</sup>,采用柠檬酸盐法合成出铌酸铋样品,比表面积为2.5  $\text{m}^2/\text{g}$ ,而本研究所开发的水热-煅烧法对样品的比表面积控制具有明显优势。图6(b)为 $\alpha$ -BiNbO<sub>4</sub>和 $\beta$ -BiNbO<sub>4</sub>样品的孔径分布曲线,由图可知,两样品的孔径分布范围较宽,

$\alpha$ -BiNbO<sub>4</sub>和 $\beta$ -BiNbO<sub>4</sub>样品的平均孔径为16.96 nm和14.29 nm,因此该材料属于微孔材料。

## 2.6 $\alpha$ -BiNbO<sub>4</sub>和 $\beta$ -BiNbO<sub>4</sub>光催化性能比较

由于煅烧温度不同,BiNbO<sub>4</sub>存在低温正交相 $\alpha$ -BiNbO<sub>4</sub>和高温三斜相 $\beta$ -BiNbO<sub>4</sub>两种晶型,所以进行二者的光催化性能比较对实际应用很有必要。见图7,在氩灯下等量 $\alpha$ -BiNbO<sub>4</sub>和 $\beta$ -BiNbO<sub>4</sub>对10 mg/L沙拉沙星的降解率分别为87.13%和57.76%,且均符合一级动力学拟合,其降解速率常数分别为0.0105 min<sup>-1</sup>和0.0068 min<sup>-1</sup>。显而易见, $\alpha$ -BiNbO<sub>4</sub>的光催化性能优于 $\beta$ -BiNbO<sub>4</sub>的光催化性能,这可能与 $\alpha$ -BiNbO<sub>4</sub>的比表面积远大于 $\beta$ -BiNbO<sub>4</sub>的比表面积有关。除此之外,在 $\alpha$ -BiNbO<sub>4</sub>晶体结构中,单层NbO<sub>6</sub>八面体与铋原子交替排列,其晶格间隙大,电子云密度大,易于电子-空穴对的分离。而 $\beta$ -BiNbO<sub>4</sub>晶体则是由双层NbO<sub>6</sub>八面体与铋原子交替排列,排列紧密,束缚了有效电子,影响了光催化反应过程中的电子转移。结合SEM分析结果,具有不规则球状貌的 $\alpha$ -BiNbO<sub>4</sub>样品,由于其晶粒尺寸相对较小,更有利于与目标降解物接触。因此,在本实验条件下, $\alpha$ -BiNbO<sub>4</sub>体现出了更高的催化活性。后续将对 $\alpha$ -BiNbO<sub>4</sub>进行进一步研究。

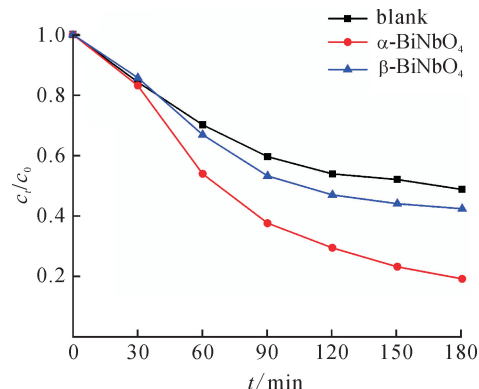


图7  $\alpha$ -BiNbO<sub>4</sub>和 $\beta$ -BiNbO<sub>4</sub>的光催化性能比较  
Fig. 7 Comparison of photocatalytic activities between  $\alpha$ -BiNbO<sub>4</sub> and  $\beta$ -BiNbO<sub>4</sub>

## 2.7 $\alpha$ -BiNbO<sub>4</sub>光催化降解沙拉沙星的条件及性能

催化剂用量对 $\alpha$ -BiNbO<sub>4</sub>光催化性能的影响见图8,由图8可知 $\alpha$ -BiNbO<sub>4</sub>光催化剂的用量从0.5 g/L增加到2.5 g/L,沙拉沙星降解率随着光催化剂浓度的增大而提高。当光催化剂用量为2.0 g/L时,沙拉沙星降解率达到最大,根据拟合数据得知 $\ln(c_0/c_t) = 0.02931t, R^2 = 0.9495$ 。继续增加光催化剂用量,并没有明显提高沙拉沙星降解率,这可能是因为当光催化剂用量增加,一部分入射光线被反射,无法进入溶液内部,光催化剂无法得到光子而阻碍光催化反应。所以本实验光催化剂的最佳用量为2.0 g/L。

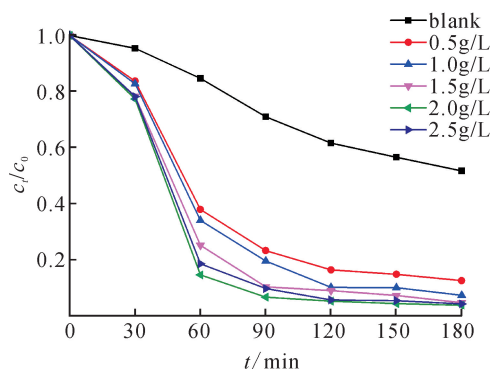
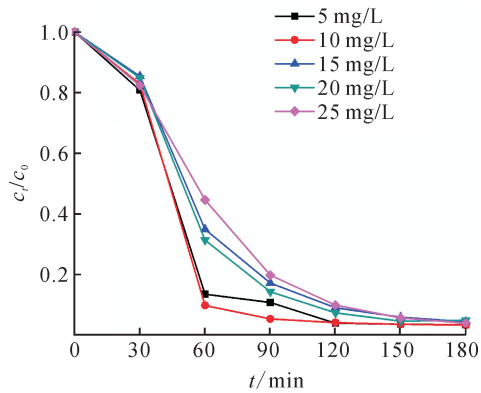


图 8 催化剂用量对沙拉沙星降解的影响

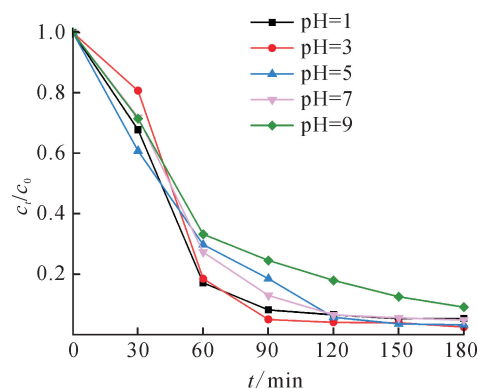
Fig. 8 Effect of catalyst dosage on sarafloxacin degradation

不同沙拉沙星溶液的初始浓度对  $\alpha$ -BiNbO<sub>4</sub> 光催化性能的影响见图 9。由图 9 可知,在前 90 min 内 10 mg/L 的沙拉沙星降解速率最快,拟合的一级动力学方程为  $\ln(c_0/c_t) = 0.03251t$ ,  $R^2$  为 0.9277。继续增加沙拉沙星浓度,催化效率不再提高,这可能是因为一定量  $\alpha$ -BiNbO<sub>4</sub> 光催化剂所能提供的反应活性位点有限,随着沙拉沙星浓度的提高,过量分子之间产生了相互竞争<sup>[16]</sup>,导致降解速率降低。因此选择 10 mg/L 为沙拉沙星的初始浓度。

图 9 沙拉沙星浓度对  $\alpha$ -BiNbO<sub>4</sub> 光催化性能的影响及Fig. 9 Effect of sarafloxacin concentration on photocatalytic performance of  $\alpha$ -BiNbO<sub>4</sub>

一般认为,pH 值对催化剂的光催化性能有很

大影响,图 10 为沙拉沙星溶液 pH 值对  $\alpha$ -BiNbO<sub>4</sub> 光催化性能的影响。显而易见,催化剂在酸性条件下,光催化性能明显优于碱性条件下的光催化性能。 $pH=3$  时,沙拉沙星的降解速率最大,90 min 内即可达到最大降解,且拟合一级动力学方程为  $\ln(c_0/c_t) = 0.02963t$ ,  $R^2$  为 0.9496。一般在酸性条件下,光催化剂表面因富集 H<sup>+</sup>,可以消耗  $\alpha$ -BiNbO<sub>4</sub> 在光催化反应过程中产生的光生电子,抑制电子空穴复合,有利于羟基自由基 ·OH 通过一系列氧化反应将沙拉沙星降解。

图 10 pH 值对  $\alpha$ -BiNbO<sub>4</sub> 光催化性能的影响Fig. 10 Effect of pH value on photocatalytic performance of  $\alpha$ -BiNbO<sub>4</sub>

上述研究可知,本文所合成出的  $\alpha$ -BiNbO<sub>4</sub> 光催化剂具有较好的光催化性能,与其它材料的催化性能对比见表 1。由表 1 可知,BiNbO<sub>4</sub><sup>[6]</sup> 光催化剂材料在紫外光区降解甲基橙可以达到 94.0%。除此以外, g-C<sub>3</sub>N<sub>4</sub>/BiNbO<sub>4</sub><sup>[17]</sup>, Ag<sub>3</sub>PO<sub>4</sub>/BiNbO<sub>4</sub><sup>[18]</sup> 和 10 wt% Ag/BiNbO<sub>4</sub><sup>[19]</sup> 等 BiNbO<sub>4</sub> 复合型光催化材料降解罗丹明 B 分别有 94.4%、98.8% 和 84.0% 的去除率,CQDs/Bi<sub>5</sub>Nb<sub>3</sub>O<sub>15</sub><sup>[20]</sup> 复合材料降解沙拉沙星有 89.0% 的降解率。本文中使用的  $\alpha$ -BiNbO<sub>4</sub> 合成过程简单,不需与其它材料复合,在最佳降解条件下可以达到较高水平的降解率。

表 1 不同催化材料的降解性能  
Tab. 1 Performance of different catalysts

降解条件	CQDs/ Bi <sub>5</sub> Nb <sub>3</sub> O <sub>15</sub>	g-C <sub>3</sub> N <sub>4</sub> / BiNbO <sub>4</sub>	Ag <sub>3</sub> PO <sub>4</sub> / BiNbO <sub>4</sub>	10 wt% Ag / BiNbO <sub>4</sub>	BiNbO <sub>4</sub>	$\alpha$ -BiNbO <sub>4</sub>
降解底物	沙拉沙星	罗丹明 B	罗丹明 B	罗丹明 B	甲基橙	沙拉沙星
降解时间/min	180	60	30	240	28	180
光源	氙灯 (250W)	氙灯 (300W)	氙灯 (350W)	LED 灯 (48W)	紫外高压汞灯 (300W)	氙灯 (250W)
降解率/%	89.0	94.4	98.8	84.0	94.0	97.4

### 3 结 论

以  $\text{Bi}(\text{NO}_3)_3 \cdot 5\text{H}_2\text{O}$  和  $\text{NbCl}_5$  为起始原料, 在前驱体溶液 pH 为 9, 水热温度 220 °C, 水热时间 24 h, 可制备出  $\text{BiNbO}_4$  中间相  $\text{Bi}_5\text{Nb}_3\text{O}_{15}$ , 对此中间相进行进一步煅烧, 当煅烧温度为 800 °C 时, 生成正交相  $\alpha\text{-BiNbO}_4$ , 继续升高煅烧温度到 1 040 °C, 生成三斜相  $\beta\text{-BiNbO}_4$ 。本研究采用水热-煅烧法可成功制备出正交相  $\alpha\text{-BiNbO}_4$  和三斜相  $\beta\text{-BiNbO}_4$ 。 $\alpha\text{-BiNbO}_4$  禁带宽度为 3.71 eV, 比表面积为 30.92  $\text{m}^2/\text{g}$ ,  $\beta\text{-BiNbO}_4$  的禁带宽度为 3.21 eV, 比表面积为 2.71  $\text{m}^2/\text{g}$ 。通过  $\alpha\text{-BiNbO}_4$  和  $\beta\text{-BiNbO}_4$  对沙拉沙星的降解对比试验, 可知  $\alpha\text{-BiNbO}_4$  的光催化性能优于  $\beta\text{-BiNbO}_4$  的光催化性能。以  $\alpha\text{-BiNbO}_4$  为光催化剂, 在氙灯(250 W)照射下降解沙拉沙星, 当催化剂用量 2.0 g/L, 沙拉沙星溶液浓度 10 mg/L, 溶液 pH 为 3, 降解时间 180 min 后, 降解率可达到 97.37%, 且各条件下降解沙拉沙星的反应均符合一级动力学模型。

#### 参考文献:

- [1] YEGANEH M, BADIEIAN BAGHSIYAH F. Exploring the sensitivity of nanodiamond to saraflloxacin: a DFT approach[J]. Journal of Physics and Chemistry of Solids, 2019, 124: 235-241.
- [2] GE Linke, HALSALL C, CHEN Changer, et al. Exploring the aquatic photodegradation of two ionisable fluoroquinolone antibiotics-gatifloxacin and balofloxacin: degradation kinetics, photo by products and risk to the aquatic environment[J]. Science of The Total Environment, 2018, 633: 1192-1197.
- [3] 段芳, 张琴, 魏取福, 等. 锗系半导体光催化剂的光催化性能调控[J]. 化学进展, 2014, 26(1): 30-40.  
DUAN Fang, ZHANG Qin, WEI Qufu, et al. Control of photocatalytic property of bismuth-based semiconductor photocatalysts[J]. Progress in Chemistry, 2014, 26 (1): 30-40.
- [4] ZHU Xiangqi, ZHANG Jinlong, CHEN Feng. Hydrothermal synthesis of nanostructures  $\text{Bi}_{12}\text{TiO}_{20}$  and their photocatalytic activity on acid orange 7 under visible light[J]. Chemosphere, 2010, 78(11): 1350-1355.
- [5] ALMEIDA C G, ARAUJO R B, YOSHIMURA R G, et al. Photocatalytic hydrogen production with visible light over Mo and Cr-doped  $\text{BiNb}(\text{Ta})\text{O}_4$ [J]. International Journal of Hydrogen Energy, 2014, 39(3): 1220-1227.
- [6] 邢精成, 卞建江, 王小军, 等.  $\text{BiNbO}_4$  的光催化性能研究[J]. 功能材料, 2007, 38(4): 565-568, 572.
- XING Jingcheng, BIAN Jianjiang, WANG Xiaojun, et al. Photocatalytic activity of bismuth niobate  $\text{BiNbO}_4$  powders[J]. Journal of Functional Materials, 2007, 38 (4): 565-568, 572.
- [7] 杨帆, 姚秉华, 张亭.  $\alpha\text{-Bi}_2\text{O}_3$  纳米纤维的制备及其光催化性能研究[J]. 西安理工大学学报, 2018, 34(4): 422-427.  
YANG Fan, YAO Binghua, ZHANG Ting. Preparation and photocatalytic property of  $\alpha\text{-Bi}_2\text{O}_3$  nanofibers [J]. Journal of Xi'an University of Technology, 2018, 34(4): 422-427.
- [8] RADHA R, GUPTA U N, SAMUEL V, et al. A co-precipitation technique to prepare  $\text{BiNbO}_4$  powders [J]. Ceramics International, 2008, 34(6): 1565-1567.
- [9] DEVESA S, GRAÇA M P, COSTA L C. Structural, morphological and dielectric properties of  $\text{BiNbO}_4$  ceramics prepared by the sol-gel method[J]. Materials Research Bulletin, 2016, 78: 128-133.
- [10] SUBRAMANIAN M A, CALABRESE J C. Crystal structure of the low temperature form of bismuth niobium oxide [ $\alpha\text{-BiNbO}_4$ ][J]. Materials Research Bulletin, 1993, 28(6): 523-529.
- [11] LIU Yinjuan, XU Chao, HE Duanwei, et al. Exploring the phase transition of  $\text{BiNbO}_4$ : a high pressure x-ray diffraction study[J]. Solid State Communications, 2017, 265: 15-18.
- [12] XU Chao, HE Duanwei, LIU Chunmei, et al. High pressure and high temperature study the phase transitions of  $\text{BiNbO}_4$  [J]. Solid State Communications, 2013, 156: 21-24.
- [13] LITIMEIN F, KHENATA R, GUPTA S K, et al. Structural, electronic, and optical properties of orthorhombic and triclinic  $\text{BiNbO}_4$  determined via DFT calculations[J]. Journal of Materials Science, 2014, 49: 7809-7818.
- [14] ZHUK N A, KRZHIZHANOVSAYA M G, BELYYY V A, et al. High-temperature crystal chemistry of  $\alpha$ -,  $\beta$ -, and  $\gamma\text{-BiNbO}_4$  polymorphs[J]. Inorganic Chemistry, 2019, 58(2): 1518-1526.
- [15] ZHAI Haifa, LI Aidong, KONG Jizhou, et al. Preparation and visible-light photocatalytic properties of  $\text{BiNbO}_4$  and  $\text{BiTaO}_4$  by a citrate method[J]. Journal of Solid State Chemistry, 2013, 202: 6-14.
- [16] MOUSSAVI G, MASHAYEKH-SALEHI A, YAGHMAEIAN K, et al. The catalytic destruction of antibiotic tetracycline by sulfur-doped manganese oxide ( $\text{S-MgO}$ ) nanoparticles[J]. Journal of Environmental Management, 2018, 210: 131-138.

(下转第 32 页)

- 学版), 2011, 43(4): 551-556.
- YANG Liu, YANG Qian, YAN Haiyan, et al. Field study on thermal comfort of rural houses in winter in the Guanzhong region, Shaanxi province [J]. Journal of Xi'an University of Architecture & Technology (Natural Science Edition), 2011, 43(4): 551-556.
- [20] 桑国臣,陈得勇,韩艳,等. 双热扰下节能墙体对室内热环境的动态影响[J]. 太阳能学报, 2017, 38(1): 164-171.
- SANG Guochen, CHEN Deyong, HAN Yan, et al. Influence of energy-saving wall on indoor thermal environment under the condition of bilateral thermal disturbance [J]. Acta Energiae Solaris Sinica, 2017, 38 (1): 164-171.
- [21] 邵腾. 东北严寒地区乡村民居节能优化研究[D]. 哈尔滨: 哈尔滨工业大学, 2018.
- SHAO Teng. The energy-saving optimization for rural house in northeast severe cold regions [D]. Harbin: Harbin Institute of Technology, 2018.
- [22] 李金平,王磊,黄娟娟,等. 太阳能地板采暖与散热器采暖室内热环境试验研究[J]. 太阳能学报, 2018, 39(7): 1849-1855.
- LI Jinping, WANG Lei, HUANG Juanjuan, et al. Comparative research on indoor thermal environment of solar floor heating and radiator heating [J]. Acta Energiae Solaris Sinica, 2018, 39(7): 1849-1855.
- [23] 刘加平. 建筑物理[M]. 第四版. 北京: 中国建筑工业出版社, 2009.
- [24] 中国建筑科学研究院有限公司. 严寒和寒冷地区居住建筑节能设计标准: JGJ26-2018 [S]. 北京: 中国建筑工业出版社, 2018.

(责任编辑 周 蓓)

(上接第 16 页)

- [17] HAO Jiaqi, WANG Qiufeng, ZHAO Zhenbo. Synthesis and characterization of g-C<sub>3</sub>N<sub>4</sub>/BiNbO<sub>4</sub> composite materials with visible light photocatalytic activity[J]. Journal of Photochemistry and Photobiology A: Chemistry, 2017, 335: 94-101.
- [18] LI Nan, MIAO Shengchao, ZHENG Xiaoni, et al. Construction of Ag<sub>3</sub>PO<sub>4</sub>/BiNbO<sub>4</sub> heterojunction photocatalysts with high activity for Rhodamine B removal under simulated sunlight irradiation[J]. Ceramics International, 2019, 45(18A): 24260-24268.
- [19] LEBEDEV A, ANARIBA F, LI Xu, et al. Ag/Ag<sub>2</sub>O/BiNbO<sub>4</sub> structure for simultaneous photocatalytic degradation of mixed cationic and anionic dyes[J]. Solar Energy, 2019, 178: 257-267.
- [20] ZHAO Jie, HE Qiang, ZHANG Xiaolong, et al. Fabrication of CQDs/Bi<sub>5</sub>Nb<sub>3</sub>O<sub>15</sub> nanocomposites for photocatalytic degradation of veterinary pharmaceutical sarafloxacin[J]. Catalysis Today, 2019. <https://doi.org/10.1016/j.cattod.2019.05.006>.

(责任编辑 王绪迪)